

Восстановление плотности и байесовская теория классификации

Воронцов Константин Вячеславович

vokov@forecsys.ru

<http://www.MachineLearning.ru/wiki?title=User:Vokov>

Этот курс доступен на странице вики-ресурса

<http://www.MachineLearning.ru/wiki>

«Машинное обучение (курс лекций, К.В.Воронцов)»

Видеолекции: <http://shad.yandex.ru/lectures>

1 Параметрические методы восстановления плотности

- Задача восстановления плотности распределения
- Восстановление многомерной гауссовской плотности
- Разделение смеси распределений

2 Непараметрическое восстановление плотности

- Восстановление одномерных плотностей
- Восстановление многомерных плотностей
- Выбор ядра и ширины окна

3 Байесовская теория классификации

- Оптимальный байесовский классификатор
- Наивный байесовский классификатор
- Обзор байесовских классификаторов

Восстановление плотности — задача обучения без учителя

Дано: простая (i.i.d.) выборка $X^\ell = \{x_1, \dots, x_\ell\} \sim p(x)$.

Найти параметрическую модель плотности распределения:

$$p(x) = \varphi(x; \theta),$$

где θ — параметр, φ — фиксированная функция.

Критерий — максимум (логарифма) правдоподобия выборки:

$$L(\theta; X^\ell) = \ln \prod_{i=1}^{\ell} \varphi(x_i; \theta) = \sum_{i=1}^{\ell} \ln \varphi(x_i; \theta) \rightarrow \max_{\theta}.$$

Необходимое условие оптимума:

$$\frac{\partial}{\partial \theta} L(\theta; X^\ell) = \sum_{i=1}^{\ell} \frac{\partial}{\partial \theta} \ln \varphi(x_i; \theta) = 0,$$

где функция $\varphi(x; \theta)$ достаточно гладкая по параметру θ .

Восстановление многомерной гауссовской плотности

Пусть объекты x описываются n признаками $f_j(x) \in \mathbb{R}$
и выборка порождена n -мерной гауссовской плотностью:

$$p(x) = \mathcal{N}(x; \mu, \Sigma) = \frac{\exp\left(-\frac{1}{2}(x - \mu)^\top \Sigma^{-1}(x - \mu)\right)}{\sqrt{(2\pi)^n \det \Sigma}}$$

$\mu \in \mathbb{R}^n$ — вектор математического ожидания,

$\Sigma \in \mathbb{R}^{n \times n}$ — ковариационная матрица

(симметричная, невырожденная, положительно определённая).

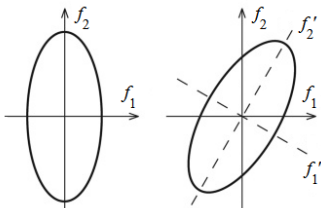
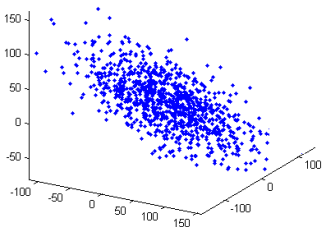
Выборочные оценки максимального правдоподобия:

$$\frac{\partial}{\partial \mu} \ln L(\mu, \Sigma; X^\ell) = 0 \quad \Rightarrow \quad \hat{\mu} = \frac{1}{\ell} \sum_{i=1}^{\ell} x_i$$

$$\frac{\partial}{\partial \Sigma} \ln L(\mu, \Sigma; X^\ell) = 0 \quad \Rightarrow \quad \hat{\Sigma} = \frac{1}{\ell} \sum_{i=1}^{\ell} (x_i - \hat{\mu})(x_i - \hat{\mu})^\top$$

Геометрический смысл многомерной нормальной плотности

Эллипсоид рассеяния — облако точек эллиптической формы:



При $\Sigma = \text{diag}(\sigma_1^2, \dots, \sigma_n^2)$ оси эллипсоида параллельны осям.

В общем случае: $\Sigma = VSV^T$ — спектральное разложение,

$V = (v_1, \dots, v_n)$ — ортогональные собственные векторы,

$S = \text{diag}(\lambda_1, \dots, \lambda_n)$ — собственные значения матрицы Σ

$$(x - \mu)^T \Sigma^{-1} (x - \mu) = (x - \mu)^T V S^{-1} V^T (x - \mu) = (x' - \mu')^T S^{-1} (x' - \mu').$$

$x' = V^T x$ — декоррелирующее ортогональное преобразование

Проблема мультиколлинеарности

Проблема: при $\ell < n$ матрица $\hat{\Sigma}$ вырождена, но даже при $\ell \geq n$ она может оказаться плохо обусловленной.

Регуляризация ковариационной матрицы $\hat{\Sigma} + \tau I_n$ увеличивает собственные значения на τ , сохраняя собственные векторы (параметр τ можно подбирать по скользящему контролю)

Диагонализация ковариационной матрицы — оценивание n одномерных плотностей признаков $f_j(x)$, $j = 1, \dots, n$:

$$\hat{p}_j(\xi) = \frac{1}{\sqrt{2\pi\hat{\sigma}_j}} \exp\left(-\frac{(\xi - \hat{\mu}_j)^2}{2\hat{\sigma}_j^2}\right), \quad j = 1, \dots, n$$

где $\hat{\mu}_j$ и $\hat{\sigma}_j^2$ — оценки среднего и дисперсии признака j :

$$\hat{\mu}_j = \frac{1}{\ell} \sum_{i=1}^{\ell} f_j(x_i)$$

$$\hat{\sigma}_j^2 = \frac{1}{\ell} \sum_{i=1}^{\ell} (f_j(x_i) - \hat{\mu}_j)^2$$

Задача восстановления смеси распределений

Порождающая модель смеси распределений:

$$p(x) = \sum_{j=1}^k w_j \varphi(x, \theta_j), \quad \sum_{j=1}^k w_j = 1, \quad w_j \geq 0,$$

k — число компонент смеси;

$\varphi(x, \theta_j) = p(x|j)$ — функция правдоподобия j -й компоненты;

$w_j = P(j)$ — априорная вероятность j -й компоненты.

Задача 1: при фиксированном k ,

имея простую выборку $X^\ell = \{x_1, \dots, x_\ell\} \sim p(x)$,

оценить вектор параметров $(w, \theta) = (w_1, \dots, w_k, \theta_1, \dots, \theta_k)$.

Задача 2: оценить ещё и k .

Максимизация правдоподобия и EM-алгоритм

Задача максимизации логарифма правдоподобия

$$L(w, \theta) = \ln \prod_{i=1}^{\ell} p(x_i) = \sum_{i=1}^{\ell} \ln \sum_{j=1}^k w_j \varphi(x_i, \theta_j) \rightarrow \max_{w, \theta}$$

при ограничениях $\sum_{j=1}^k w_j = 1$; $w_j \geq 0$.

Итерационный алгоритм Expectation–Maximization:

начальное приближение параметров (w, θ) ;

повторять

оценка скрытых переменных $G = (g_{ij})$, $g_{ij} = P(j|x_i)$;

$G :=$ E-шаг(w, θ);

максимизация правдоподобия отдельно по компонентам:

$(w, \theta) :=$ M-шаг(w, θ, G);

пока w, θ и G не стабилизируются;

EM-алгоритм как способ решения системы уравнений

Теорема (необходимые условия экстремума)

Точка $(w_j, \theta_j)_{j=1}^k$ локального экстремума $L(w, \theta)$ удовлетворяет системе уравнений относительно w_j, θ_j и g_{ij} :

$$\text{E-шаг: } g_{ij} = \frac{w_j \varphi(x_i, \theta_j)}{\sum_{s=1}^k w_s \varphi(x_i, \theta_s)}, \quad i = 1, \dots, \ell, \quad j = 1, \dots, k;$$

$$\text{M-шаг: } \theta_j = \arg \max_{\theta} \sum_{i=1}^{\ell} g_{ij} \ln \varphi(x_i, \theta), \quad j = 1, \dots, k;$$

$$w_j = \frac{1}{\ell} \sum_{i=1}^{\ell} g_{ij}, \quad j = 1, \dots, k.$$

EM-алгоритм — это метод простых итераций для её решения

Вероятностная интерпретация

E-шаг — это формула Байеса:

$$g_{ij} = P(j|x_i) = \frac{P(j)p(x_i|j)}{p(x_i)} = \frac{w_j\varphi(x_i, \theta_j)}{p(x_i)} = \frac{w_j\varphi(x_i, \theta_j)}{\sum_{s=1}^k w_s\varphi(x_i, \theta_s)}.$$

Очевидно, выполнено условие нормировки: $\sum_{j=1}^k g_{ij} = 1$.

M-шаг — это максимизация взвешенного правдоподобия, с весами объектов g_{ij} для j -й компоненты смеси:

$$\theta_j = \arg \max_{\theta} \sum_{i=1}^{\ell} g_{ij} \ln \varphi(x_i, \theta),$$

$$w_j = \frac{1}{\ell} \sum_{i=1}^{\ell} g_{ij}.$$

Доказательство. Условия Каруша–Куна–Таккера

Лагранжиан оптимизационной задачи $L(w, \theta) \rightarrow \max$:

$$\mathcal{L}(w, \theta) = \sum_{i=1}^{\ell} \ln \left(\underbrace{\sum_{j=1}^k w_j \varphi(x_i, \theta_j)}_{p(x_i)} \right) - \lambda \left(\sum_{j=1}^k w_j - 1 \right).$$

Приравниваем нулю производные:

$$\frac{\partial \mathcal{L}}{\partial w_j} = 0 \quad \Rightarrow \quad \lambda = \ell; \quad w_j = \frac{1}{\ell} \sum_{i=1}^{\ell} \underbrace{\frac{w_j \varphi(x_i, \theta_j)}{p(x_i)}}_{g_{ij}} = \frac{1}{\ell} \sum_{i=1}^{\ell} g_{ij},$$

$$\frac{\partial \mathcal{L}}{\partial \theta_j} = \sum_{i=1}^{\ell} \underbrace{\frac{w_j \varphi(x_i, \theta_j)}{p(x_i)}}_{g_{ij}} \frac{\partial}{\partial \theta_j} \ln \varphi(x_i, \theta_j) = \frac{\partial}{\partial \theta_j} \sum_{i=1}^{\ell} g_{ij} \ln \varphi(x_i, \theta_j) = 0.$$



EM-алгоритм

вход: $X^\ell = \{x_1, \dots, x_\ell\}$, k ;

выход: $(w_j, \theta_j)_{j=1}^k$ — параметры смеси распределений;

инициализировать $(\theta_j)_{j=1}^k$, $w_j := \frac{1}{k}$;

повторять

Е-шаг (expectation): для всех $i = 1, \dots, \ell$, $j = 1, \dots, k$

$$g_{ij} := \frac{w_j \varphi(x_i, \theta_j)}{\sum_{s=1}^k w_s \varphi(x_i, \theta_s)};$$

М-шаг (maximization): для всех $j = 1, \dots, k$

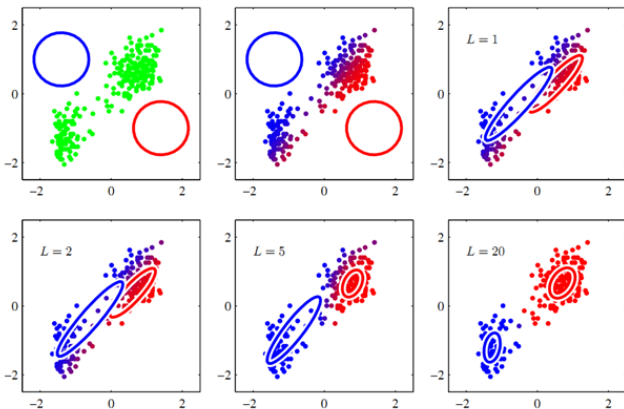
$$\theta_j := \arg \max_{\theta} \sum_{i=1}^{\ell} g_{ij} \ln \varphi(x_i, \theta); \quad w_j := \frac{1}{\ell} \sum_{i=1}^{\ell} g_{ij};$$

пока w_j, θ_j и/или g_{ij} не сошлись;

вернуть $(w_j, \theta_j)_{j=1}^k$;

Пример

Две гауссовские компоненты $k = 2$ в пространстве $X = \mathbb{R}^2$.
Расположение компонент в зависимости от номера итерации L :



EM-алгоритм с добавлением и удалением компонент

Проблемы базового варианта EM-алгоритма:

- Как выбирать начальное приближение?
- Как определять число компонент?
- Как ускорить сходимость?

Добавление и удаление компонент в EM-алгоритме:

- Если слишком много объектов x_i имеют слишком низкие правдоподобия $p(x_i)$, то создаём новую $k+1$ -ю компоненту, по этим объектам строим её начальное приближение.
- Если у j -й компоненты слишком низкий w_j , удаляем её.

Регуляризация $L(w, \theta) - \tau \sum_{j=1}^k \ln w_j \rightarrow \max:$

$$w_j \propto \left(\frac{1}{\ell} \sum_{i=1}^{\ell} g_{ij} - \tau \right)_+$$

Задача непараметрического восстановления плотности

Задача: по выборке $X^\ell = (x_i)_{i=1}^\ell$ оценить плотность $\hat{p}(x)$,
без введения параметрической модели плотности

Дискретный случай: $x_i \in D$, $|D| \ll \ell$. Гистограмма частот:

$$\hat{p}(x) = \frac{1}{\ell} \sum_{i=1}^{\ell} [x_i = x]$$

Одномерный непрерывный случай: $x_i \in \mathbb{R}$. По определению плотности, если $P[a, b]$ — вероятностная мера отрезка $[a, b]$:

$$p(x) = \lim_{h \rightarrow 0} \frac{1}{2h} P[x - h, x + h]$$

Эмпирическая оценка плотности по окну ширины h
(заменяем вероятность на долю объектов выборки):

$$\hat{p}_h(x) = \frac{1}{2h} \frac{1}{\ell} \sum_{i=1}^{\ell} [|x - x_i| < h]$$

Локальная непараметрическая оценка Парзена-Розенблатта

Эмпирическая оценка плотности по окну ширины h :

$$\hat{p}_h(x) = \frac{1}{\ell h} \sum_{i=1}^{\ell} \frac{1}{2} \left[\frac{|x - x_i|}{h} < 1 \right].$$

Обобщение: оценка Парзена-Розенблатта по окну ширины h :

$$\hat{p}_h(x) = \frac{1}{\ell h} \sum_{i=1}^{\ell} K\left(\frac{x - x_i}{h}\right),$$

где $K(r)$ — ядро, удовлетворяющее требованиям:

- чётная функция;
- нормированная функция: $\int K(r) dr = 1$;
- невозрастающая при $r > 0$, неотрицательная функция.

В частности, при $K(r) = \frac{1}{2} [|r| < 1]$ имеем эмпирическую оценку.

Обоснование оценки Парзена-Розенблатта

Теорема (одномерный случай, $x_i \in \mathbb{R}$)

Пусть выполнены следующие условия:

- 1) X^ℓ — простая выборка из распределения $p(x)$;
- 2) ядро $K(z)$ непрерывно и ограничено: $\int_X K^2(z) dz < \infty$;
- 3) последовательность h_ℓ : $\lim_{\ell \rightarrow \infty} h_\ell = 0$ и $\lim_{\ell \rightarrow \infty} \ell h_\ell = \infty$.

Тогда:

- 1) $\hat{p}_{h_\ell}(x) \rightarrow p(x)$ при $\ell \rightarrow \infty$ для почти всех $x \in X$;
- 2) скорость сходимости имеет порядок $O(\ell^{-2/5})$.

А как быть в многомерном случае, когда $x_i \in \mathbb{R}^n$?

Два варианта обобщения на многомерный случай

- 1 Если объекты описываются n признаками $f_j: X \rightarrow \mathbb{R}$:

$$\hat{p}_{h_1 \dots h_n}(x) = \frac{1}{\ell} \sum_{i=1}^{\ell} \prod_{j=1}^n \frac{1}{h_j} K\left(\frac{f_j(x) - f_j(x_i)}{h_j}\right)$$

- 2 Если на X задана функция расстояния $\rho(x, x')$:

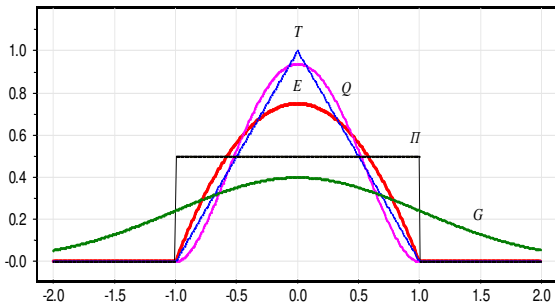
$$\hat{p}_h(x) = \frac{1}{\ell V(h)} \sum_{i=1}^{\ell} K\left(\frac{\rho(x, x_i)}{h}\right)$$

где $V(h) = \int_X K\left(\frac{\rho(x, x_i)}{h}\right) dx$ — нормировочный множитель

Сферическое гауссовское ядро — частный случай обоих:

$$\hat{p}_h(x) = \frac{1}{\ell} \sum_{i=1}^{\ell} \prod_{j=1}^n \frac{1}{\sqrt{2\pi}h} \exp\left(-\frac{(f_j(x) - f_j(x_i))^2}{2h^2}\right)$$

Выбор ядра



$E(r) = \frac{3}{4}(1 - r^2)[|r| \leq 1]$ — оптимальное (Епанечникова);

$Q(r) = \frac{15}{16}(1 - r^2)^2[|r| \leq 1]$ — четвертое;

$T(r) = (1 - |r|)[|r| \leq 1]$ — треугольное;

$G(r) = (2\pi)^{-1/2} \exp(-\frac{1}{2}r^2)$ — гауссовское;

$\Pi(r) = \frac{1}{2}[|r| \leq 1]$ — прямоугольное.

Выбор ядра почти не влияет на качество восстановления

Функционал качества восстановления плотности:

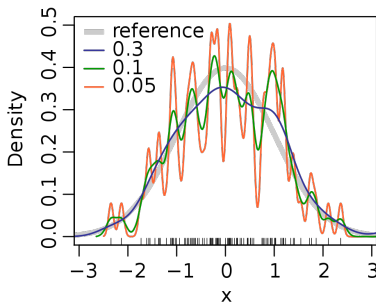
$$J(K) = \int_{-\infty}^{+\infty} E(\hat{p}_h(x) - p(x))^2 dx.$$

Асимптотические значения отношения $J(K^*)/J(K)$ при $h \rightarrow \infty$ не зависят от вида распределения $p(x)$.

ядро $K(r)$	степень гладкости	$J(K^*)/J(K)$
Епанечникова $K^*(r)$	\hat{p}'_h разрывна	1.000
Квартическое	\hat{p}''_h разрывна	0.995
Треугольное	\hat{p}'_h разрывна	0.989
Гауссовское	∞ дифференцируема	0.961
Прямоугольное	\hat{p}_h разрывна	0.943

Зависимость оценки плотности от ширины окна

Оценка $\hat{\rho}_h(x)$ при различных значениях ширины окна h :



- Качество восстановления плотности существенно зависит от ширины окна h , но слабо зависит от вида ядра K
- При неоднородности локальных сгущений плотности можно задавать $h_k(x) = \rho(x, x^{(k+1)})$, где k — число соседей

Выбор ширины окна

Скольльзящий контроль *Leave One Out* для оценки плотности:

$$\text{LOO}(h) = - \sum_{i=1}^{\ell} \ln \hat{p}_h(x_i; X^{\ell} \setminus x_i) \rightarrow \min_h,$$

Типичный вид зависимости $\text{LOO}(h)$ или $\text{LOO}(k)$:



Резюме: три подхода к оцениванию плотностей

- 1 Параметрическое оценивание плотности:

$$\hat{p}(x) = \varphi(x, \theta).$$

- 2 Восстановление смеси распределений:

$$\hat{p}(x) = \sum_{j=1}^k w_j \varphi(x, \theta_j), \quad k \ll \ell.$$

- 3 Непараметрическое оценивание плотности:

$$\hat{p}(x) = \sum_{i=1}^{\ell} \frac{1}{\ell V(h)} K\left(\frac{\rho(x, x_i)}{h}\right).$$

Задача классификации: минимизация вероятности ошибки

X — объекты, Y — классы, $X \times Y$ — в.п. с плотностью $p(x, y)$

Дано: $X^\ell = (x_i, y_i)_{i=1}^\ell \sim p(x, y)$ — простая выборка (i.i.d.);

Найти: $a: X \rightarrow Y$ с минимальной вероятностью ошибки.

Временное допущение: пусть известна совместная плотность

$$p(x, y) = p(x)P(y|x) = P(y)p(x|y).$$

$P(y)$ — априорная вероятность класса y ;

$p(x|y)$ — функция правдоподобия класса y ;

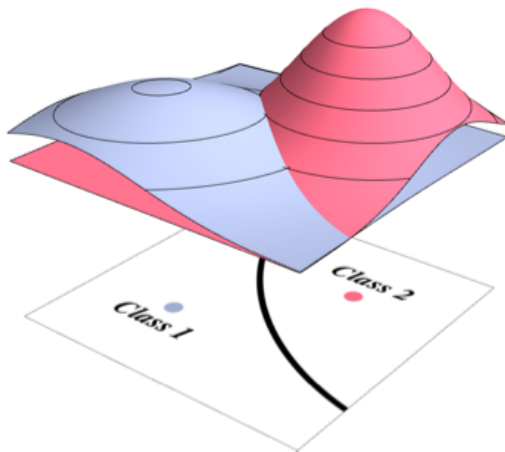
$P(y|x)$ — апостериорная вероятность класса y ;

Принцип максимума апостериорной вероятности:

$$a(x) = \arg \max_{y \in Y} P(y|x) = \arg \max_{y \in Y} P(y)p(x|y).$$

Классификация по максимуму функции правдоподобия

Частный случай: $a(x) = \arg \max_{y \in Y} p(x|y)$ при равных $P(y)$.



Оптимальный байесовский классификатор

Теорема

Пусть $P(y)$ и $p(x|y)$ известны, $\lambda_y \geq 0$ — потеря от ошибки на объекте класса $y \in Y$. Тогда минимум среднего риска

$$R(a) = \sum_{y \in Y} \lambda_y \int [a(x) \neq y] p(x, y) dx$$

достигается *байесовским классификатором*

$$a(x) = \arg \max_{y \in Y} \lambda_y P(y) p(x|y).$$

Замечание 1: после подстановки эмпирических оценок $\hat{P}(y)$ и $\hat{p}(x|y)$ байесовский классификатор уже не оптимален.

Замечание 2: задача оценивания плотности распределения — более сложная, чем задача классификации.

Наивный байесовский классификатор (Naïve Bayes)

Предположение (действительно наивное):

признаки $f_j: X \rightarrow D_j$ — независимые случайные величины с плотностями распределения, $p_j(\xi|y)$, $y \in Y$, $j = 1, \dots, n$.

Тогда функции правдоподобия классов представимы в виде произведения одномерных плотностей по признакам, $x^j \equiv f_j(x)$:

$$p(x|y) = p_1(x^1|y) \cdots p_n(x^n|y), \quad x = (x^1, \dots, x^n), \quad y \in Y.$$

Прологарифмировав под argmax , получим классификатор

$$a(x) = \operatorname{argmax}_{y \in Y} \left(\ln \lambda_y \hat{P}(y) + \sum_{j=1}^n \ln \hat{p}_j(x^j|y) \right).$$

Восстановление n одномерных плотностей

— намного более простая задача, чем одной n -мерной.

Наивный байесовский классификатор в общем виде

Предположение: одномерные плотности экспоненциальны:

$$p(x^j|y; \theta_{yj}, \varphi_{yj}) = \exp\left(\frac{x^j\theta_{yj} - c(\theta_{yj})}{\varphi_{yj}} + h(x^j, \varphi_{yj})\right)$$

где θ_{yj} , φ_{yj} — параметры, $c(\theta)$, $h(y, \varphi)$ — параметры-функции.

Задача максимизации log-правдоподобия

$$L(\theta, \varphi) = \sum_{j=1}^n \sum_{y \in Y} \left(\sum_{x_i \in X_y} \ln p(x_i^j|y; \theta_{yj}, \varphi_{yj}) \right) \rightarrow \max_{\theta, \varphi}$$

распадается на независимые подзадачи для каждого (y, j) :

$$\sum_{x_i \in X_y} \left(\frac{x_i^j\theta_{yj} - c(\theta_{yj})}{\varphi_{yj}} + h(x_i^j, \varphi_{yj}) \right) \rightarrow \max_{\theta_{yj}, \varphi_{yj}}$$

По θ_{yj} задача решается аналитически, по φ_{yj} не всегда.

Приведение распределений к экспоненциальной форме

Примеры (где $\theta = g(\mu)$ — функции связи, μ — матожидание):

$$\begin{aligned} \frac{1}{\sqrt{2\pi\sigma}} \exp\left(-\frac{(x-\mu)^2}{2\sigma^2}\right) &= \exp\left(\frac{x\mu - \frac{1}{2}\mu^2}{\sigma^2} - \frac{x^2}{2\sigma^2} - \frac{1}{2} \ln(2\pi\sigma^2)\right) \\ \mu^x (1 - \mu)^{1-x} &= \exp\left(x \ln \frac{\mu}{1-\mu} + \ln(1 - \mu)\right) \\ C_k^x \mu^x (1 - \mu)^{k-x} &= \exp\left(x \ln \frac{\mu}{1-\mu} + k \ln(1 - \mu) + \ln C_k^x\right) \\ \frac{1}{x!} e^{-\mu} \mu^x &= \exp\left(x \ln(\mu) - \mu - \ln x!\right) \end{aligned}$$

распределение	значения	$c(\theta)$	$c'(\theta)$	$[c']^{-1}(z)$	φ	$h(x, \varphi)$
нормальное	\mathbb{R}	$\frac{1}{2}\theta^2$	θ	z	σ^2	$-\frac{x^2}{2\varphi} - \frac{\ln(2\pi\varphi)}{2}$
Бернулли	$\{0, 1\}$	$\ln(1 + e^\theta)$	$\frac{1}{1+e^{-\theta}}$	$\ln \frac{1-z}{z}$	1	0
биномиальное	$\{0, \dots, k\}$	$k \ln(1 + e^\theta)$	$\frac{k}{1+e^{-\theta}}$	$\ln \frac{k-z}{z}$	1	$\ln C_k^x$
Пуассона	$\{0, 1, \dots\}$	e^θ	e^θ	$\ln z$	1	$-\ln x!$

Линейный наивный байесовский классификатор

Решение θ_{yj} через среднее значение признака j в классе y :

$$\frac{\partial L}{\partial \theta_{yj}} = 0 \Rightarrow c'(\theta_{yj}) = \sum_{x_i \in X_y} \frac{x_i^j}{|X_y|} \equiv \bar{x}_{yj} \Rightarrow \theta_{yj} = [c']^{-1}(\bar{x}_{yj})$$

Решение φ_{yj} не всегда выражается из уравнения $\frac{\partial L}{\partial \varphi_{yj}} = 0$, но для распределений Пуассона, Бернулли, биномиального $\varphi_{yj} = 1$; для гауссовского распределения (и если φ_{yj} не зависит от y):

$$\varphi_{yj} = \frac{1}{\ell} \sum_{i=1}^{\ell} (x_i^j - \bar{x}_{yj})^2$$

В итоге Naïve Bayes оказывается линейным классификатором:

$$a(x) = \arg \max_{y \in Y} \left(\sum_{j=1}^n x^j \underbrace{\frac{\theta_{yj}}{\varphi_{yj}}}_{w_{yj}} + \underbrace{\ln(\lambda_y P(y)) - \sum_{j=1}^n \frac{c(\theta_{yj})}{\varphi_{yj}}}_{b_y} + \underbrace{\cancel{h(x^j, \varphi_{yj})}}_{\substack{\text{если от } y \\ \text{не зависит}}} \right)$$

Метод парзеновского окна (Parzen window)

Непараметрическая оценка плотности Парзена–Розенблатта с функцией расстояния $\rho(x, x')$, для каждого класса $y \in Y$:

$$\hat{p}_h(x|y) = \frac{1}{\ell_y V(h)} \sum_{i: y_i=y} K\left(\frac{\rho(x, x_i)}{h}\right),$$

Метод окна Парзена — это метрический классификатор:

$$a(x) = \arg \max_{y \in Y} \lambda_y \frac{P(y)}{\ell_y} \sum_{i: y_i=y} K\left(\frac{\rho(x, x_i)}{h}\right).$$

Замечание: нормирующий множитель $V(h) = \int_{\mathcal{X}} K\left(\frac{\rho(x, x_i)}{h}\right) dx$ сокращается под $\arg\max$, если он не зависит от x_i и y_i .

Замечание 2: имеем проблемы выбора ядра $K(r)$, ширины окна h , функции расстояния $\rho(x, x')$.

Квадратичный дискриминант

Гипотеза: каждый класс $y \in Y$ имеет n -мерную гауссовскую плотность с центром μ_y и ковариационной матрица Σ_y :

$$p(x|y) = \mathcal{N}(x; \mu_y, \Sigma_y) = \frac{\exp\left(-\frac{1}{2}(x - \mu_y)^\top \Sigma_y^{-1}(x - \mu_y)\right)}{\sqrt{(2\pi)^n \det \Sigma_y}}$$

Теорема

1. Разделяющая поверхность, определяемая уравнением $\lambda_y P(y) p(x|y) = \lambda_s P(s) p(x|s)$, квадратична для всех $y, s \in Y$.
2. Если $\Sigma_y = \Sigma_s$, то поверхность вырождается в линейную.

Квадратичный дискриминант — подстановочный алгоритм:

$$a(x) = \arg \max_{y \in Y} \left(\ln \lambda_y P(y) - \frac{1}{2}(x - \hat{\mu}_y)^\top \hat{\Sigma}_y^{-1}(x - \hat{\mu}_y) - \frac{1}{2} \ln \det \hat{\Sigma}_y \right)$$

Линейный дискриминант Фишера

Проблема: для малочисленных классов возможно $\det \hat{\Sigma}_y = 0$.

Пусть ковариационные матрицы классов равны: $\Sigma_y = \Sigma$, $y \in Y$.

Оценка максимума правдоподобия для Σ :

$$\hat{\Sigma} = \frac{1}{\ell} \sum_{i=1}^{\ell} (x_i - \hat{\mu}_{y_i})(x_i - \hat{\mu}_{y_i})^T$$

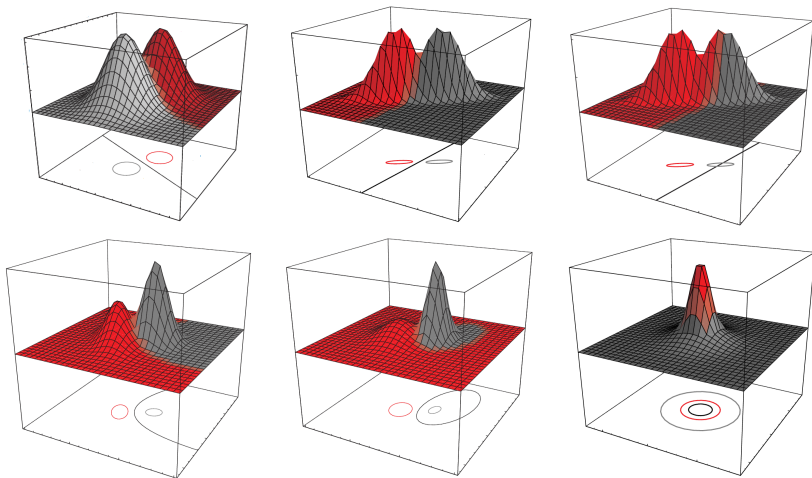
Линейный дискриминант — подстановочный алгоритм:

$$\begin{aligned} a(x) &= \arg \max_{y \in Y} \lambda_y \hat{P}(y) \hat{p}(x|y) = \\ &= \arg \max_{y \in Y} \underbrace{(\ln(\lambda_y \hat{P}(y)) - \frac{1}{2} \hat{\mu}_y^T \hat{\Sigma}^{-1} \hat{\mu}_y)}_{\beta_y} + x^T \underbrace{\hat{\Sigma}^{-1} \hat{\mu}_y}_{\alpha_y}; \end{aligned}$$

$$a(x) = \arg \max_{y \in Y} (x^T \alpha_y + \beta_y).$$

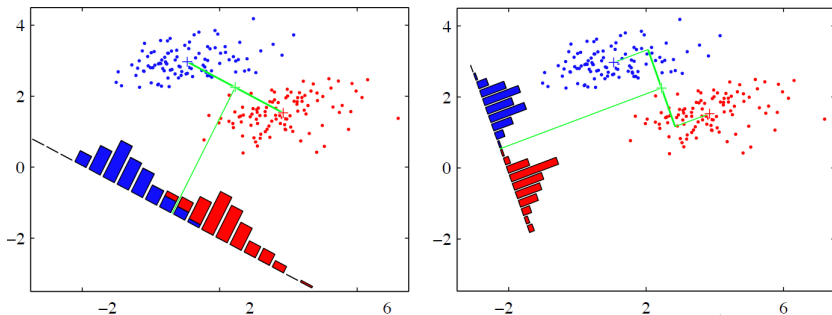
Недостаток: всё равно приходится обращаться матрицу $\hat{\Sigma}$.

Геометрический смысл квадратичного дискриминанта



Геометрическая интерпретация линейного дискриминанта

В одномерной проекции на направляющий вектор разделяющей гиперплоскости классы разделяются наилучшим образом, то есть с минимальной вероятностью ошибки.



Fisher R. A. The use of multiple measurements in taxonomic problems. 1936.

Гауссовская смесь с диагональными матрицами ковариации

Гауссовская смесь GMM — Gaussian Mixture Model

Допущения:

1. Функции правдоподобия классов $p(x|y)$ представимы в виде смесей k_y компонент, $y \in Y = \{1, \dots, M\}$.
2. Компоненты имеют n -мерные гауссовские плотности с некоррелированными признаками:

$$\mu_{yj} = (\mu_{yj1}, \dots, \mu_{yjn}), \quad \Sigma_{yj} = \text{diag}(\sigma_{yj1}^2, \dots, \sigma_{yjn}^2), \quad j = 1, \dots, k_y:$$

$$p(x|y) = \sum_{j=1}^{k_y} w_{yj} p_{yj}(x), \quad p_{yj}(x) = \mathcal{N}(x; \mu_{yj}, \Sigma_{yj}),$$

$$\sum_{j=1}^{k_y} w_{yj} = 1, \quad w_{yj} \geq 0;$$

Эмпирические оценки средних и дисперсий

Числовые признаки: $f_d: X \rightarrow \mathbb{R}$, $d = 1, \dots, n$.

Решение задачи M-шага в EM-алгоритме:

для всех классов $y \in Y$ и всех компонент $j = 1, \dots, k_y$,

$$w_{yj} = \frac{1}{\ell_y} \sum_{i: y_i=y} g_{yij}$$

для всех размерностей (признаков) $d = 1, \dots, n$

$$\hat{\mu}_{yjd} = \frac{1}{\ell_y w_{yj}} \sum_{i: y_i=y} g_{yij} f_d(x_i);$$

$$\hat{\sigma}_{yjd}^2 = \frac{1}{\ell_y w_{yj}} \sum_{i: y_i=y} g_{yij} (f_d(x_i) - \hat{\mu}_{yjd})^2;$$

Замечание: компоненты «наивны», но смесь не «наивна».

Байесовский классификатор

Подставим гауссовскую смесь в байесовский классификатор:

$$a(x) = \arg \max_{y \in Y} \underbrace{\lambda_y P_y}_{\Gamma_y(x)} \sum_{j=1}^{k_y} \underbrace{w_{yj} \mathcal{N}_{yj} \exp\left(-\frac{1}{2} \rho_{yj}^2(x, \mu_{yj})\right)}_{\rho_{yj}(x)}$$

$\mathcal{N}_{yj} = (2\pi)^{-\frac{n}{2}} (\sigma_{yj1} \cdots \sigma_{yjn})^{-1}$ — нормировочные множители;
 $\rho_{yj}(x, \mu_{yj})$ — взвешенная евклидова метрика в $X = \mathbb{R}^n$:

$$\rho_{yj}^2(x, \mu_{yj}) = \sum_{d=1}^n \frac{1}{\sigma_{yjd}^2} (f_d(x) - \mu_{yjd})^2.$$

Интерпретация — как у метрического классификатора:

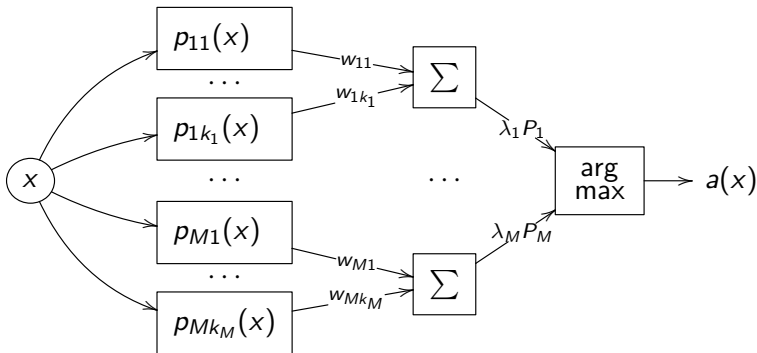
$\rho_{yj}(x)$ — близость объекта x к j -й компоненте класса y ;

$\Gamma_y(x)$ — близость объекта x к классу y .

Сеть радиальных базисных функций (RBF)

Трёхслойная сеть RBF (Radial Basis Functions):

$$a(x) = \arg \max_{y \in Y} \lambda_y P_y \sum_{j=1}^{k_y} w_{yj} p_{yj}(x)$$



EM-алгоритм как метод обучения радиальных сетей

Отличия RBF-EM от RBF-SVM:

- опорные векторы μ_{yj} — это не пограничные объекты выборки, а центры локальных сгущений классов
- автоматически строится *структурное описание* каждого класса в виде совокупности компонент — *кластеров*

Преимущества EM-алгоритма:

- EM-алгоритм легко сделать устойчивым к шуму
- как правило, EM-алгоритм довольно быстро сходится

Недостатки EM-алгоритма:

- EM-алгоритм чувствителен к начальному приближению
- Определение числа компонент — трудная задача (простые эвристики могут плохо работать)

- Полезная формула: $a(x) = \arg \max_{y \in Y} \lambda_y P(y) p(x|y)$.
- Основной недостаток: для классификации важна только плотность вблизи границы; избыточно точное оценивание плотности на периферии приводит к недоразумениям.
- Наивный байесовский классификатор:
предположение о независимости признаков.
Как ни странно, иногда это работает.

Три подхода к восстановлению плотности $p(x|y)$ по выборке:

- *Параметрический подход:*
модель плотности + максимизация правдоподобия;
- *Непараметрический подход:*
наиболее прост, приводит к методу парзеновского окна;
- *Разделение смеси распределений:*
в случае смеси гауссиан приводит к сети RBF.